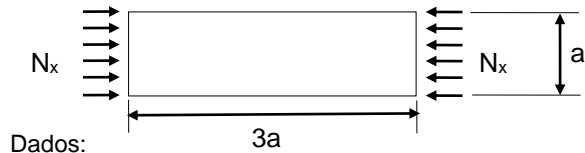


EST-25 ESTRUTURAS AEROESPACIAIS II

1ª SÉRIE DE EXERCÍCIOS

Exercício 1



Dados:

$$a = 3"; \quad t = 0,07"$$

Material: liga AL 7075-T6

$$E = 10.500\text{ksi}; \quad F_y = 67\text{ksi}; \quad F_{0.7} = 70\text{ksi}; \quad n = 9,2; \quad \nu = 0,3$$

Uma placa simplesmente apoiada em seus quatro bordos é carregada uniaxialmente. O reforço, nos bordos carregados, é tal a impedir, totalmente, o movimento transversal dos bordos livres. Nestas condições,

a) qual a carga total suportada pela placa no instante da flambagem?

b) qual a carga total suportada pela placa quando a tensão de bordo for $f_b = 16$ ksi?

c) qual a carga total suportada pela placa no momento da falha?

Neste item, calcule segundo Argyris & Dunne (com $f_b = F_{cy}$), Von Karman e Gerard, e discuta os resultados.

SOLUÇÃO

E =	10.500	ksi	a =	9	in
F _{cy} =	67		b =	3	in
F ₀₇ =	70		t =	0,07	in
n =	9,2		F _e =	16	ksi
v _e =	0,3		α =	0,8	
a/b	3				
k _c =	2,8		k _c =	4	
(F _{cr}) _{el} =	14,47	ksi	(F _{cr}) _{el} =	20,67	ksi
F _{cr} =	14,467	ksi	F _{cr} =	20,666	ksi
E _t =	10.500	ksi	E _t =	10.498	ksi
E _s =	10.500	ksi	E _s =	10.500	ksi
v =	0,3		v =	0,3	
η =	1,0000		η =	1,0000	
F _{cr} =	14,467	ksi	F _{cr} =	20,666	ksi
P _{cr} =	3,04	kips			

O único método que leva em consideração impedimentos ao movimento transversal dos bordos livres é o de Argyris & Dunne.

F _e /F _{cr} =	1,11				
b _e /b =	0,98				
b _e =	2,94	in			
P _e =	3,29	kips			

Carga de Falha por Argyris & Dunne

F _{cy} /F _{cr} =	4,63				
b _e /b =	0,77				
b _e =	2,31	in			
P _e =	10,83	kips			

Como o método de Argyris & Dunne é o único a levar em consideração o impedimento do movimento transversal dos bordos, possivelmente fornecerá os melhores resultados, mesmo considerando que a tensão de bordo seja maior do que aquela adotada nas hipóteses do método (F_e/F_{cy} < 3).

Carga de Falha por Von Karman (k_c = 4)

P _u =	7,81	kips			
------------------	------	------	--	--	--

Carga de Falha por Gerard (k_c = 4)

α =	0,78		n =	0,8	
F _f =	41,31	ksi	P _u =	8,67	kips

Como pode ser notado, as cargas de falha como previstas por Von Karman e Gerard são muito mais baixas, mesmo considerando uma tensão de flambagem sem a influência do reforço lateral. Se este reforço fosse levado em consideração, a carga de falha seria ainda menor. Os desenvolvimentos realizados por Von Karman e Gerard foram realizados sob a hipótese de A_r/at = 0 (reforço lateral nulo) de modo que a sua utilização neste caso certamente não é apropriada.

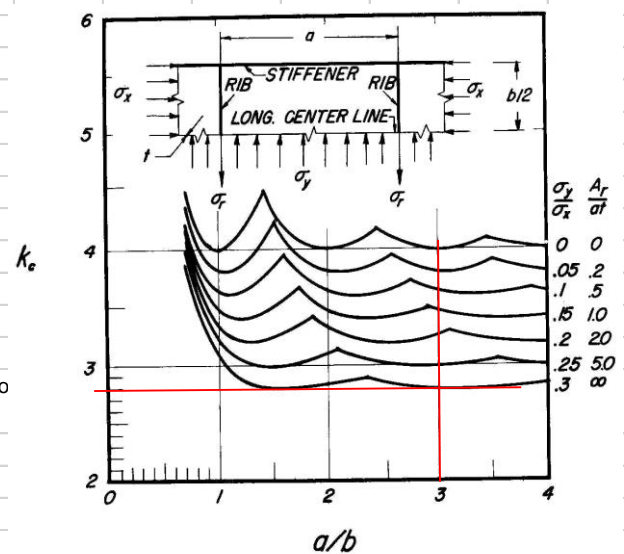


Fig. 5-29 Coeficientes de Flambagem de Placas Planas Restringidas na Expansão Lateral. Coeficiente de Poisson igual a 0.3

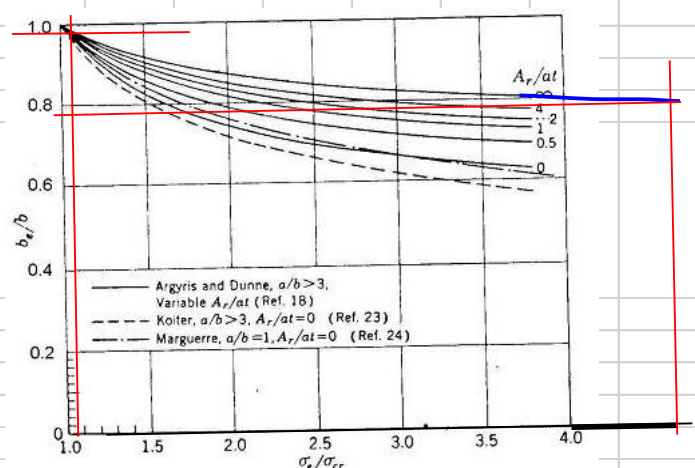
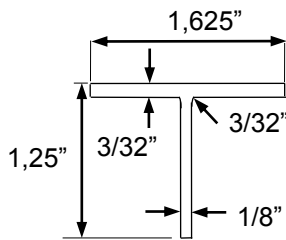


Fig. 5-57 Larguras Efetivas de Placas em Compressão

PROBLEMA 2



Considere o perfil da figura, extrudado em liga 7075-T6.

- estime a tensão de flambagem local
- calcule a tensão média de falha local na temperatura ambiente, usando o método da Boeing
- idem, usando o método de Gerard
- qual o diâmetro de bulbo que torna fornece condição de apoio completa para o flange horizontal?
- calcule a tensão média de falha local do perfil com bulbos como calculado no item c (use o método da Boeing)
- calcule a tensão média de falha local de ambas as seções, com e sem bulbos, sob temperatura de 450° F (método da Boeing)

Dados do material:

T.A.: $E = 10.500 \text{ ksi}$; $F_{cy} = 70 \text{ ksi}$; $F_{0.7} = 72 \text{ ksi}$; $v_e = 0,3$; $n = 16,6$

450° F: $E = 7.800 \text{ ksi}$; $F_{cy} = 22,5 \text{ ksi}$; $F_{0.7} = 21,3 \text{ ksi}$; $v_e = 0,3$; $n = 7,2$

SOLUÇÃO

					T.A.			450°F					
b _F =	0,8125	in		E =	10.500	ksi		E =	7.800	ksi		g _{GER} =	3
b _W =	1,2031	in		F _{CY} =	70	ksi		F _{CY} =	22,5	ksi		β _G =	0,67
t _F =	0,0938	in		F _{0,7} =	72	ksi		F _{0,7} =	21,3	ksi		m _{GER} =	0,4
t _W =	0,1250	in		n =	16,6			n =	7,2			F _{CUT} /F _{CY} =	0,8
				v _e =	0,3			v _e =	0,3				
				m =	0,75			m =	0,75				
				B ₁₀ =	0,063			B ₁₀ =	0,061				
				g _F =	2,3			g _F =	2,3				

a)

Um limitante inferior é dado pela tensão de flambagem da perna mais fraca na condição de borda simplesmente apoiada

$k_{FLANGE} =$	0,428		
$(t/b)_{MN} =$	0,108		
$(F_{CR})_{EL} =$	47,47	ksi	
$\alpha =$	0,9		
$F_{CR} =$	47,444	ksi	
$E_S =$	10.493	ksi	
$v =$	0,300		
$\eta =$	0,99944		
$F_{CR} =$	47,444	ksi	regime elástico

Um limitante superior é dado pela tensão de flambagem da perna mais fraca na condição de borda engastada

$k_{FLANGE} =$	1,280		
$(t/b)_{MN} =$	0,108		
$(F_{CR})_{EL} =$	141,97	ksi	
$\alpha =$	0,9		
$F_{CR} =$	76,127	ksi	
$E_S =$	5.192	ksi	
$v =$	0,401		
$\eta =$	0,53622		
$F_{CR} =$	76,127	ksi	regime inelástico

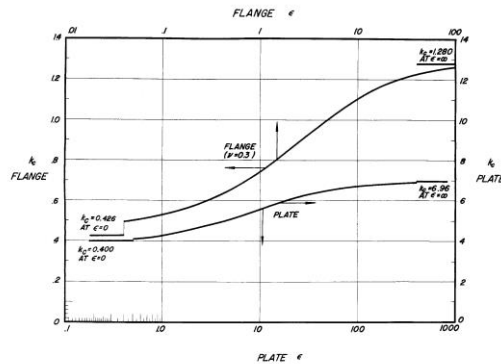


Fig. 5-12 Coeficientes de Flambagem para Flanges e Placas Infinitamente Longos em Função da Restrição Rotacional na Borda

Outro limitante superior é dado pela tensão de flambagem da perna mais forte na condição de borda simplesmente apoiada

$k_{FLANGE} =$	0,428		
$(t/b)_{MAX} =$	0,125		
$(F_{CR})_{EL} =$	63,46	ksi	
$\alpha =$	0,9		
$F_{CR} =$	61,507	ksi	
$E_S =$	10.128	ksi	
$v =$	0,307		
$\eta =$	0,96916		
$F_{CR} =$	61,507	ksi	regime inelástico

47,4 ksi < F_{CR} < 61,5 ksi

b)

i	n	b	t	Area	B.L.	g	F _{CC}	P _{CC}
1	2	0,8125	0,0938	0,15234	1	1	60,13	9,161
2	1	1,2031	0,1250	0,15039	1	1	55,58	8,359
				0,30273				17,520

F_{CC} = 57,87 ksi

c)

$A =$	0,29688	in ²
$t_{BARRA} =$	0,10674	in
F_{CC} = 53,81 ksi < F_{CUT}		

d)

$$\left(\frac{D}{t}\right)^4 - 1,6\left(\frac{D}{t}\right)^3 - 0,374\left(\frac{D}{t}\right)^2 \geq 7,44\frac{b_f}{t} \Rightarrow \left(\frac{D}{t}\right)_{MIN}^4 = 7,44\frac{b_f}{t} + 1,6\left(\frac{D}{t}\right)^3 + 0,374\left(\frac{D}{t}\right)^2 \Rightarrow$$

$$\left(\frac{D}{t}\right)_{MIN} = \left[7,44\frac{b_f}{t} + 1,6\left(\frac{D}{t}\right)^3 + 0,374\left(\frac{D}{t}\right)^2\right]^{\frac{1}{4}}$$

D_{MN} = 0,317 in

e)

i	n	b	t	Area	B.L.	g	F _{CC}	P _{CC}
1	2	-	-	0,15774	-	-	70,00	11,042
2	2	0,8125	0,0938	0,15234	0	2,3	70,00	10,664
3	1	1,2031	0,1250	0,15039	1	1	55,58	8,359
				0,46048				30,065

F_{CC} = 65,29 ksi

f)

sem bulbos

i	n	b	t	Area	B.L.	g	F _{CC}	P _{CC}
1	2	0,8125	0,0938	0,15234	1	1	22,50	3,428
2	1	1,2031	0,1250	0,15039	1	1	22,50	3,384
				0,30273				6,812

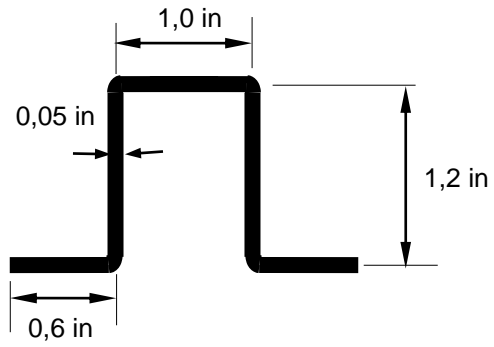
F_{CC} = 22,50 ksi

com bulbos

i	n	b	t	Area	B.L.	g	F _{CC}	P _{CC}
1	2	-	-	0,15774	-	-	22,50	3,549
1	2	0,8125	0,0938	0,15234	0	2,3	22,50	3,428
2	1	1,2031	0,1250	0,15039	1	1	22,50	3,384
				0,46048				10,361

F_{CC} = 22,50 ksi

PROBLEMA 3



Considere o perfil da figura, conformado em chapa AL 7075-T6.

- Calcule a tensão média de falha local pelo método de Needham;
- Calcule a tensão média de falha local pelo método da Boeing;
- Calcule a tensão média de falha local pelo método de Gerard;
- Comente os resultados.

Dados do material: $E = 10.500 \text{ ksi}$; $F_{cy} = 67 \text{ ksi}$; $F_{0.7} = 70 \text{ ksi}$; $\nu = 0,3$; $n = 9,2$

SOLUÇÃO

b _F =	0,60	in		E =	10.500	ksi		C _{1BORDA} =	0,342		g _{GER} =	11	
b _W =	1,20	in		F _{CY} =	67	ksi		C _{0BORDA} =	0,366		β _G =	0,55	
b _T =	1,00	in		F _{0,7} =	70	ksi		m =	0,8		m _{GER} =	0,85	
t =	0,05	in		n =	9,2			B ₁₀ =	0,05275		F _{CUT} /F _{CY} =	0,75	
				v _e =	0,3			g _F =	2,65				
Cálculos Preliminares													
b _F /b _W =	0,5												
b _W /b _T =	1,2												
k _T =	2,3												
(F _{CR}) _{EL} =	54,57	ksi											
α =	0,9												
F _{CR} =	51,000	ksi											
E _T =	8.116	ksi											
E _S =	10.175	ksi											
ν =	0,306												
η =	0,935												
F _{CR} =	51,000	ksi											
regime inelástico													
</													

